

名古屋大学 学生員 中西 利雄  
 東海大学 学生員 二宮 公紀  
 名古屋大学 正員 梶田 建夫

1. まえがき 水中に建設される構造物の動的応答解析に関する研究は、OTC (Offshore Technology Conference) 等にジャケット (A.J. Godeau, G.E. Deleuil 5) や重力アラットフォーム (R.Nataraja, C.L.Kirk 5) 形式を対象としたものなどが数多く見受けられる。しかし、固定式構造物をシェルとして取り扱い、動的応答解析を行なっているものは少ないようである。ここでは固定式円筒シェル構造物(図-1)を対象として、振動解析を行ない、模型実験との比較も行なった。固定式円筒シェル構造物の動的応答では、周辺流体による影響を考慮する必要がある。すなわち、水中におけるシェルは、流体との相互作用によりシェル表面に動水圧が作用し、構造物の振動特性に大きな影響を与えることがわかっている。ここでは、動的相互作用を扱う解析法はエネルギー法を、シェルの基礎式としては Flügge の理論を、動的応答のための外力としては回折理論 (R.C.Macamy, R.A.Fuchs による) で計算された波力を使用している。

2. 解析理論 水中における円筒シェルの自由振動方程式は、Lagrange の運動方程式に、仮定変位モードを代入し、Rayleigh-Ritz 法により得られる。Lagrange 方程式中のひずみエネルギーは、つぎのようである。

$$U = \frac{E\kappa}{2(1-\nu^2)} \int_0^{2\pi} \left[ \left( \frac{\partial u}{\partial x} + \frac{1}{a^2} \left( \frac{\partial v}{\partial \theta} + w \right)^2 + \frac{2\nu \partial u}{a \partial x} \left( \frac{\partial v}{\partial \theta} + w \right) + \frac{1}{2}(1-\nu) \left( \frac{\partial v}{\partial x} + \frac{1}{a} \frac{\partial u}{\partial \theta} \right)^2 \right. \right. \\ \left. \left. + \frac{\kappa^2}{12a^2} \left\{ a^2 \left( \frac{\partial^2 w}{\partial x^2} \right)^2 + \frac{1}{a^2} \left( \frac{\partial^2 w}{\partial \theta^2} - \frac{\partial^2 v}{\partial \theta^2} \right)^2 + 2\nu \frac{\partial^2 w}{\partial x^2} \left( \frac{\partial^2 w}{\partial \theta^2} - \frac{\partial^2 v}{\partial \theta^2} \right) + 2(1-\nu) \left( \frac{\partial^2 w}{\partial x \partial \theta} - \frac{\partial^2 v}{\partial x \partial \theta} \right)^2 \right\} \right] ad\theta dx \quad (1)$$

仮定変位モードは、図-1 の様に軸方向、円周方向、半径方向をそれぞれ  $u$ ,  $v$ ,  $w$  とし、 $x$  方向に  $N$  項のはりの変位モードを用いた。

$$u = \sum_{i=1}^N A_{nni}(t) g_i(x) \cos n\theta \quad (2-1)$$

$$v = \sum_{i=1}^N B_{nni}(t) f_i(x) \sin n\theta \quad (2-2)$$

$$w = \sum_{i=1}^N C_{nni}(t) f_i(x) \cos n\theta \quad (2-3)$$

ここで、 $g_i(x)$  は一端固定、他端自由な棒の  $i$  次縦振動モード、 $f_i(x)$  は片持ちばかりの  $i$  次横振動モードであり、 $A_{nni}(t)$ ,  $B_{nni}(t)$ ,  $C_{nni}(t)$  は独立変数である。次に周辺流体とシェルとの動的相互作用を考える。周辺流体は非粘性、非回転性、非圧縮性であり、シェル外側に無限に広がっており、微小運動をすると仮定すると、動水圧  $P$  を満足する支配微分方程式は、

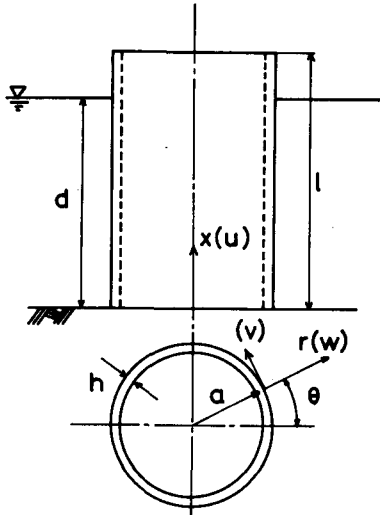


図-1 固定式円筒シェル

$$\frac{\partial^2 P}{\partial r^2} + \frac{1}{r} \frac{\partial P}{\partial r} + \frac{1}{r^2} \frac{\partial^2 P}{\partial \theta^2} + \frac{\partial^2 P}{\partial x^2} = 0 \quad (3)$$

となる。円筒シェルの固定端と自由表面との境界条件、流体とシェルの  $\theta=0$ ,  $r=a$  における変位の連続性を用いて、上式を解くと

$$P(x) = - \int_0^{2\pi} P(x, \theta) a \cos n\theta d\theta \quad (4-1)$$

$$P(x, \theta) = -4\rho_w \omega^2 \sum_s \frac{K_n(ds) \sum_i C_{nni} f_i(x) \cos ds \lambda_s}{\lambda_s [K_{n+1}(ds) + K_{n-1}(ds)]} \times \cos ds x \cos n\theta \quad (4-2)$$

となる。ここで  $P(x)$  はシェルの単位長さ当たりに作用する合動水圧、 $\rho_w$  は流体の質量密度、 $K_n$  は第2種修正ベッセル関数、また、 $\lambda_s = (2s-1)\pi/2$ ,  $ds = \lambda_s/a$  である。

波による円筒シェルの動的応答は、自由振動時のモード形を利用して得られる。外力として波力を考えれば、

$$\int_0^d \sum_i P(x) C_{nni} f_i(x) dx \quad (5)$$

である。ここに、波力  $P(x)$  は MacCamy, Fuchs の解を用いており、上式を Lagrange 方程式に代入し、直接積分法によって、応答解析を行なうことができる。

**3. 模型実験** 使用した模型材料は塩化ビニル製で、これの一端を固定し、他端には小型加速度計を取り付けた。空気中と水深をいろいろ変化させ、空気中と水中とで自由振動実験を行ない、得られた実験値から固有振動数と減衰定数を求めた。

**4. 結果と考察** 本解析法の精度を検討するため、Vronay と Smith による厳密解との比較を行なったが、5 個のモードで誤差は 2% 程度であった。図-2 は水深の変化に伴う固有振動数の変化を示すもので、解析値と実験値はよく一致しており、水深が深くなるほど振動数は減少し、 $d/a = 1.0$  で約  $1/2$  になっている。 $d/a = 0.5$  以上より、減少率は増大しており、これは頂部に近いほど振動振幅が大きいことが原因であろう。図-3 は水深の変化に伴う減衰定数の変化を示すもので、減衰定数は振動数に比べ、水深の影響は比較的小さいことがわかる。図-4 は波力による最大応答変位を示している。

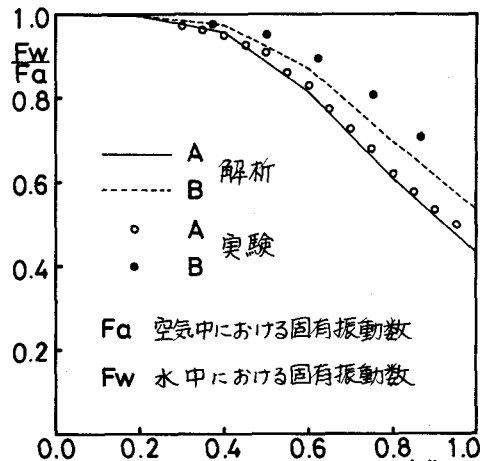


図-2 水深の変化に伴う  
固有振動数の変化

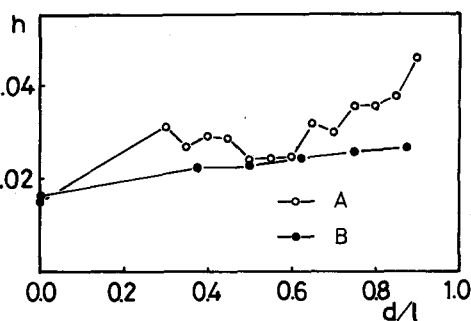


図-3 水深の変化に伴う  
減衰定数(h)の変化

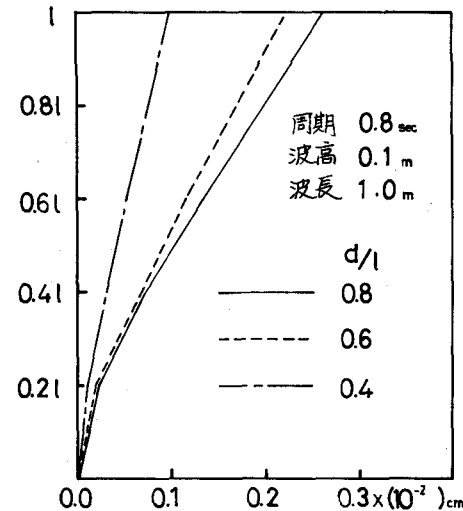


図-4 水深の変化による  
最大応答変位(Aタフ)

参) 1) Liaw and Chopra; J. Earth. Eng. and Struc. Dyn. Vol. 3, 1974 2) Hamamoto, Konishi and Tanaka; Proc. 5th Japan Earth. Eng. Sym., 1978